

FIG. 1

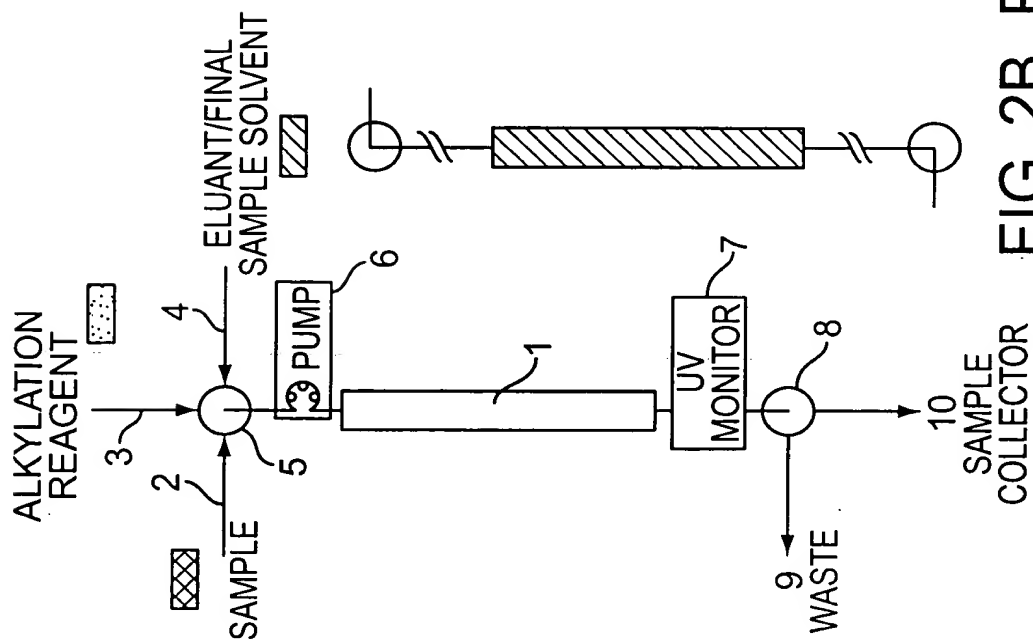


FIG. 2A

FIG. 2D

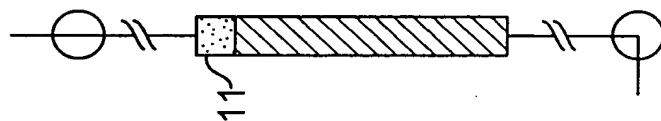


FIG. 2F

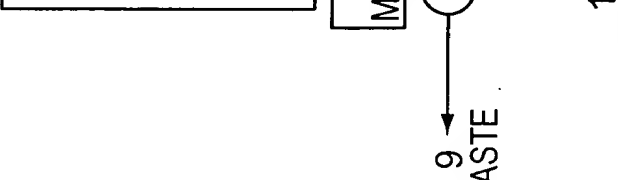
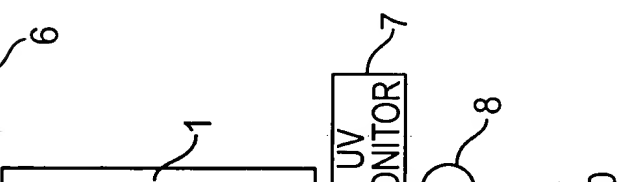
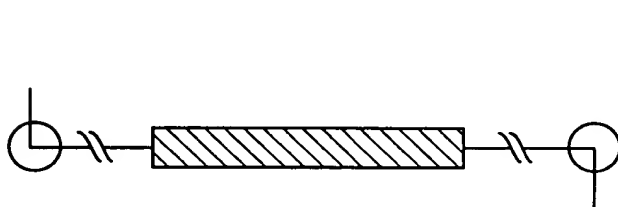
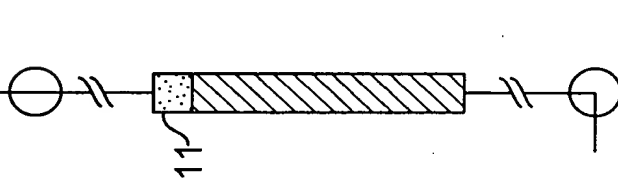
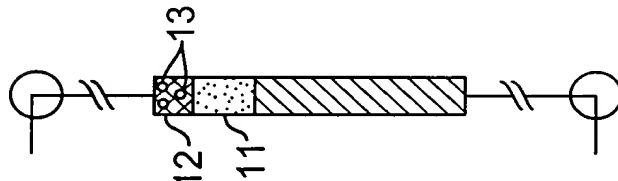
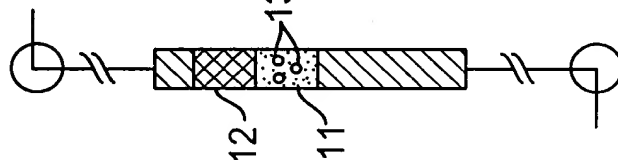
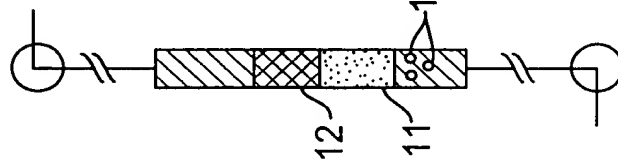


FIG. 2B

FIG. 2E

FIG. 2G

FIG. 2H

FIG. 2G

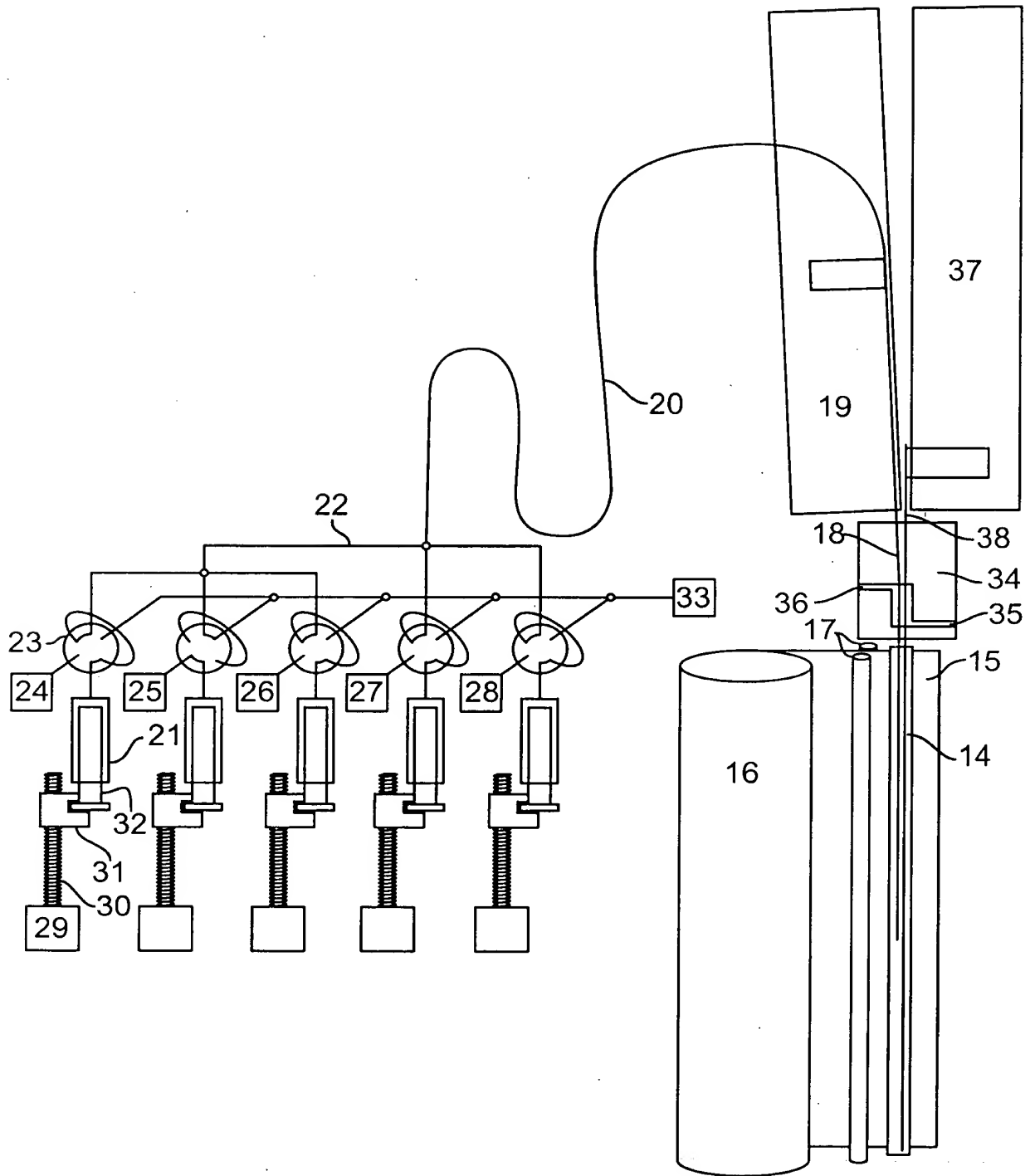


FIG. 3

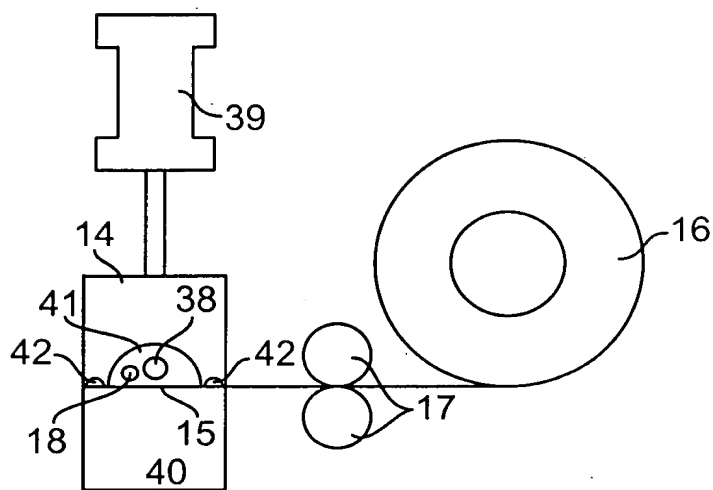


FIG. 4A

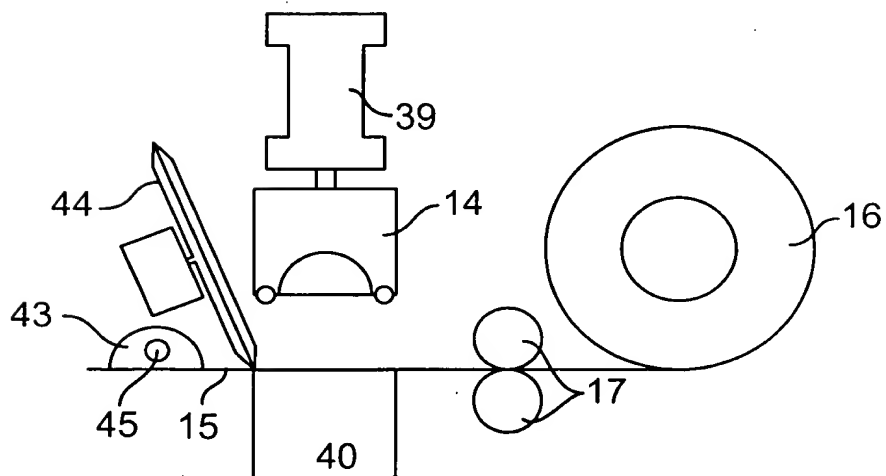


FIG. 4B

FIG. 4A

FIG. 5A



FIG. 5A

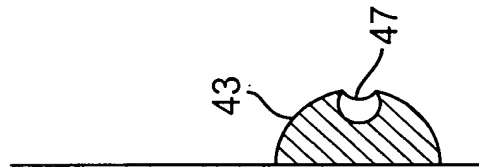


FIG. 5B

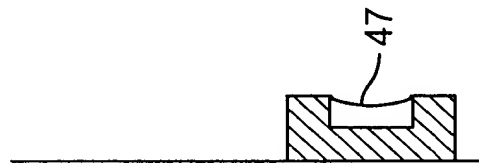


FIG. 5C

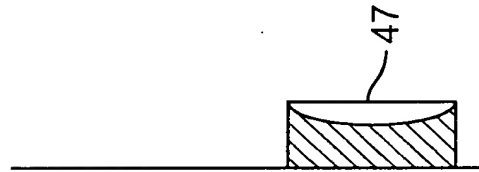


FIG. 5D



FIG. 5E



FIG. 5F

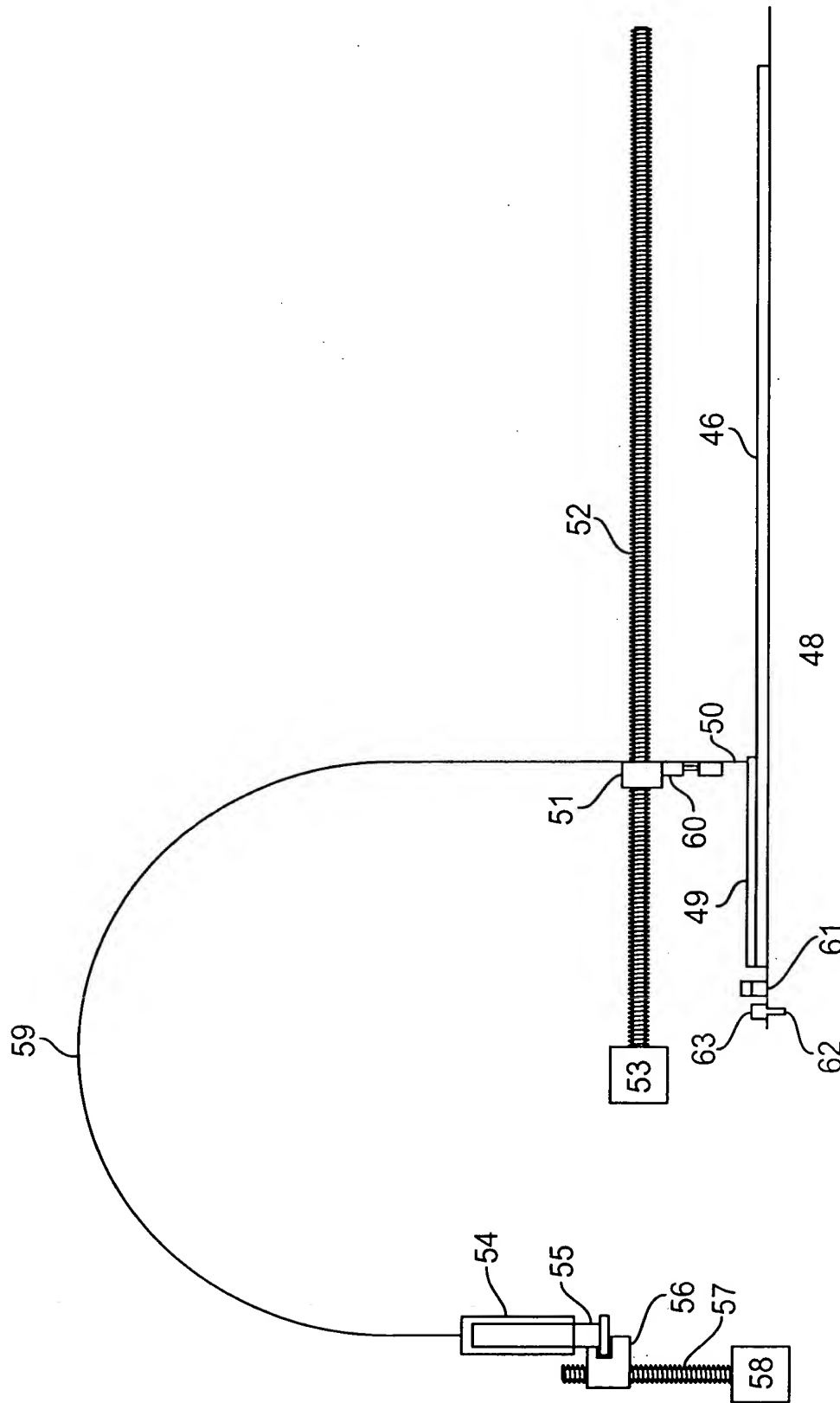


FIG. 6

FIG. 6 is a schematic diagram of an automated system for two-dimensional electrophoresis.

FIG. 7

FIG. 8A

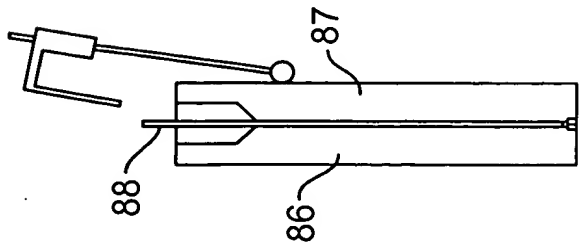


FIG. 8A

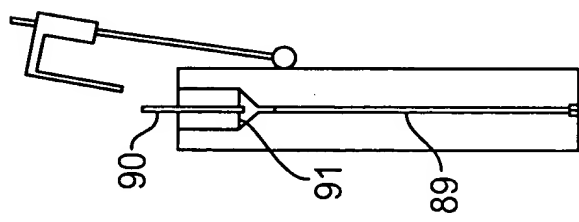


FIG. 8B

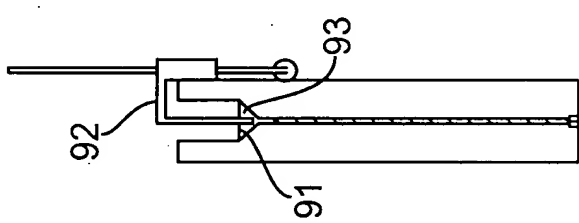


FIG. 8C

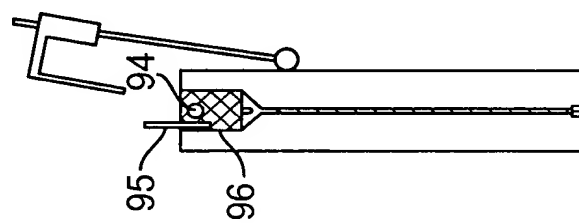


FIG. 8D

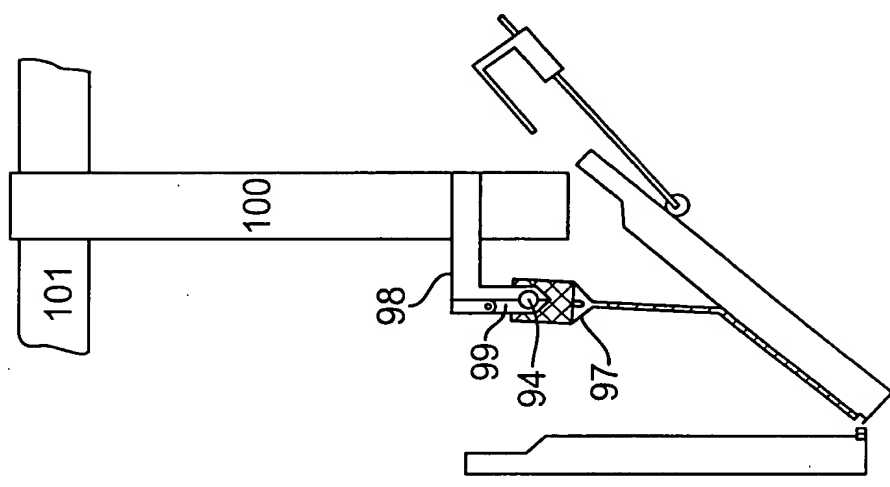
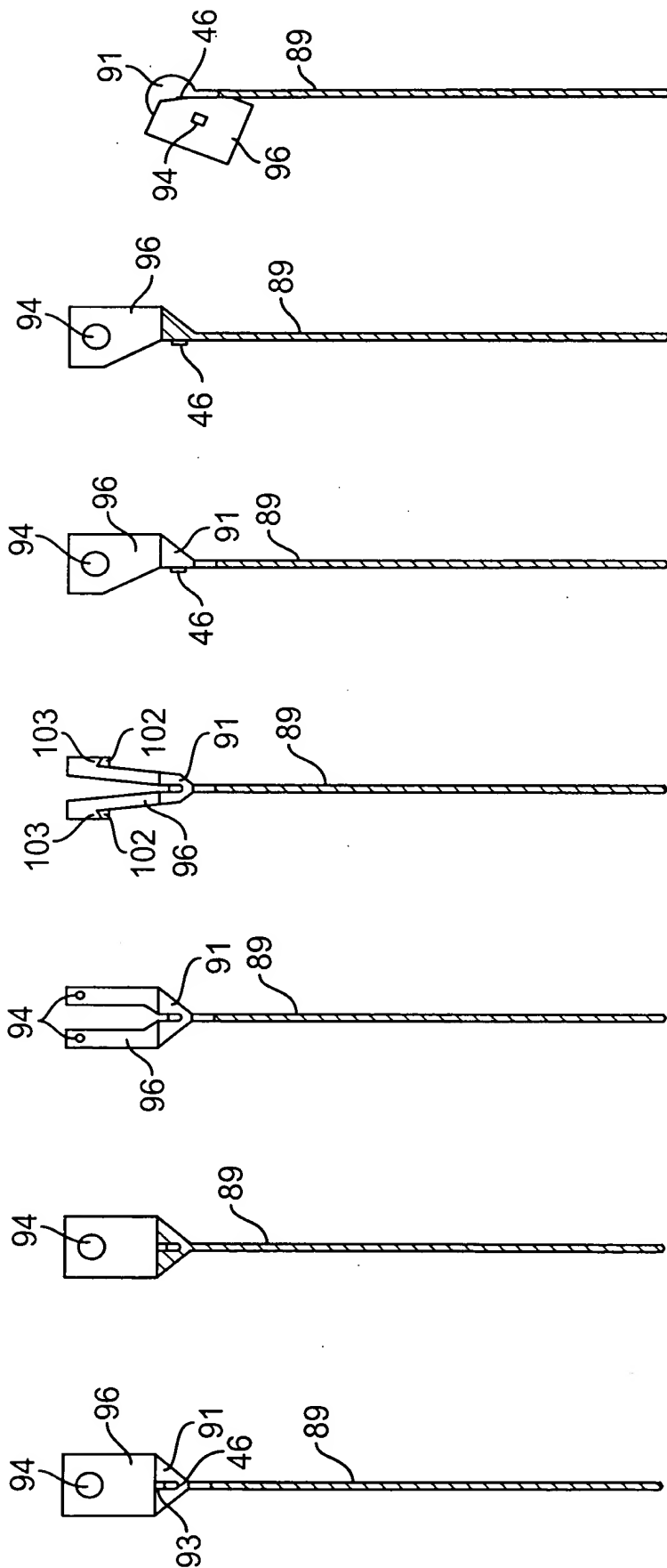


FIG. 8E





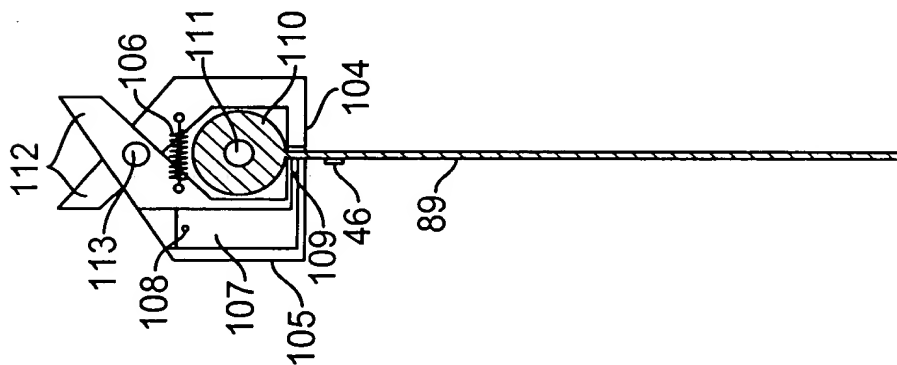


FIG. 9H

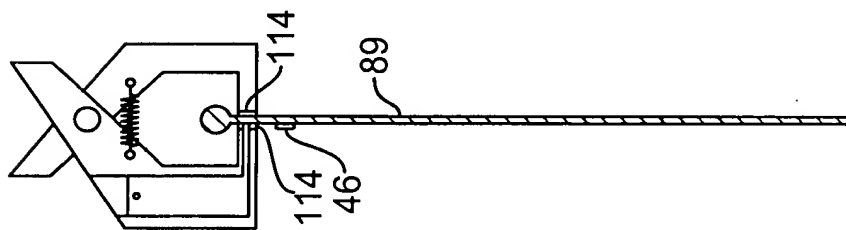


FIG. 9I

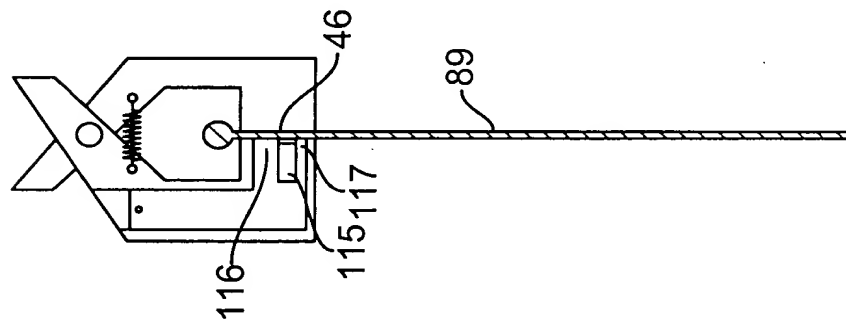


FIG. 9J

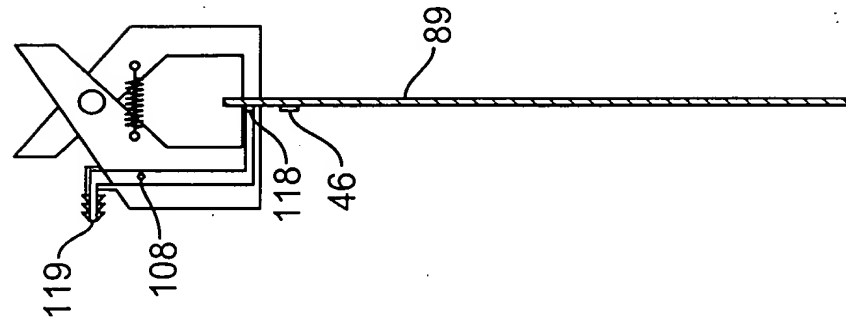


FIG. 9K

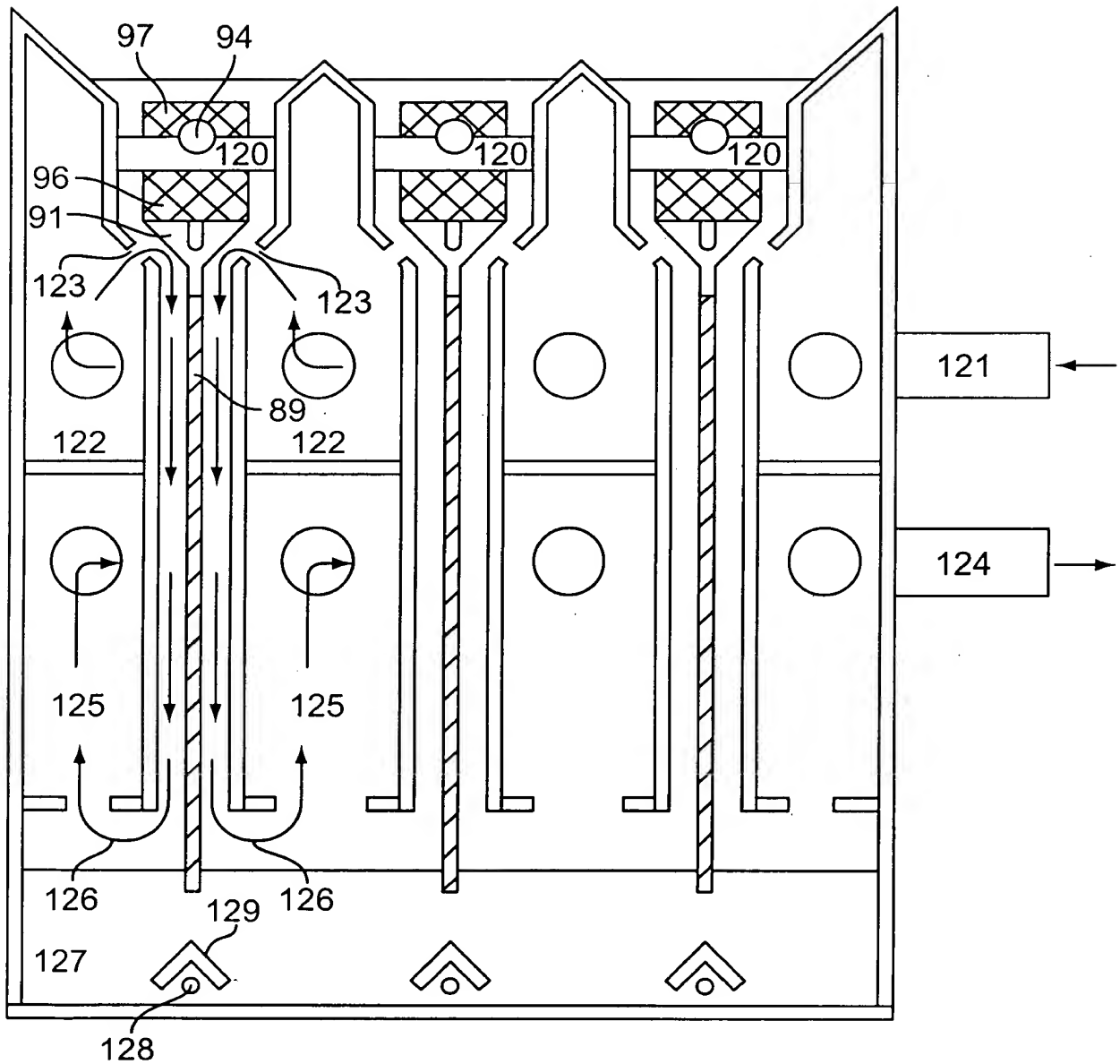


FIG. 10

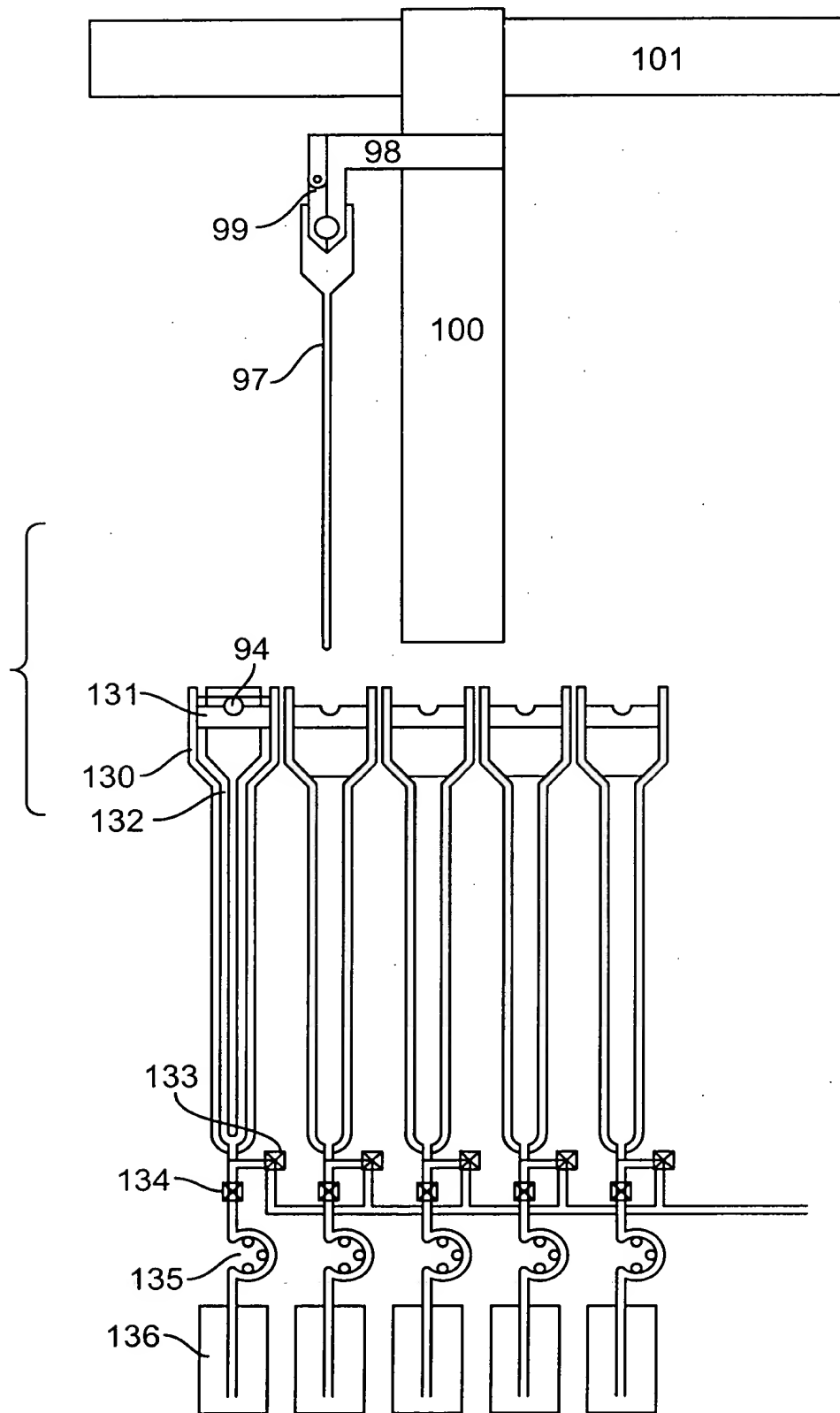


FIG. 11A

09851245-050901

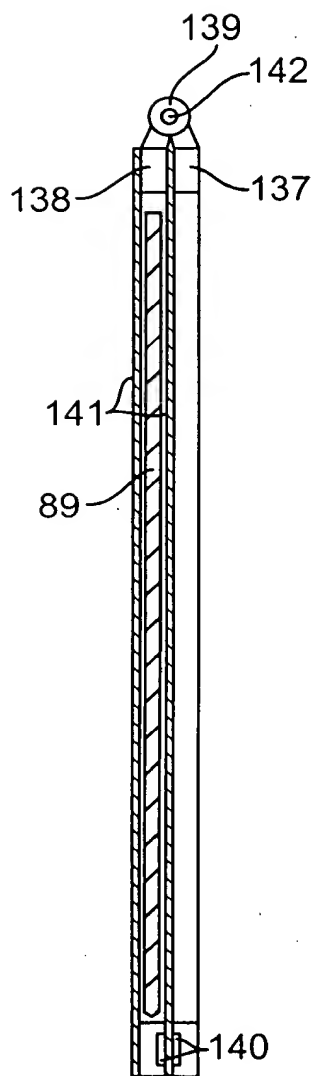


FIG. 11B

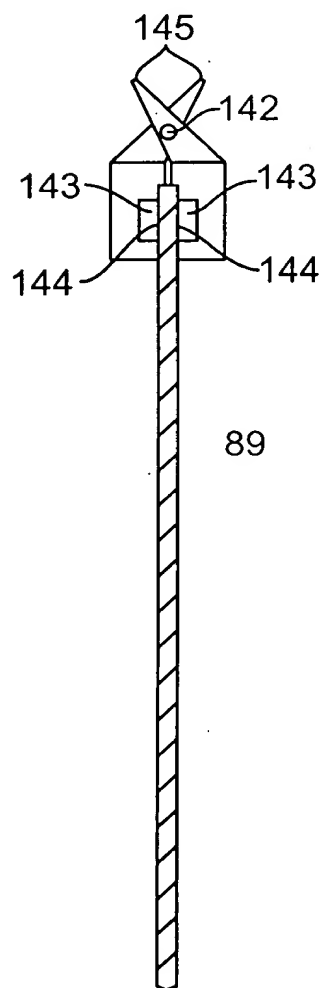


FIG. 11C

FIG. 11B

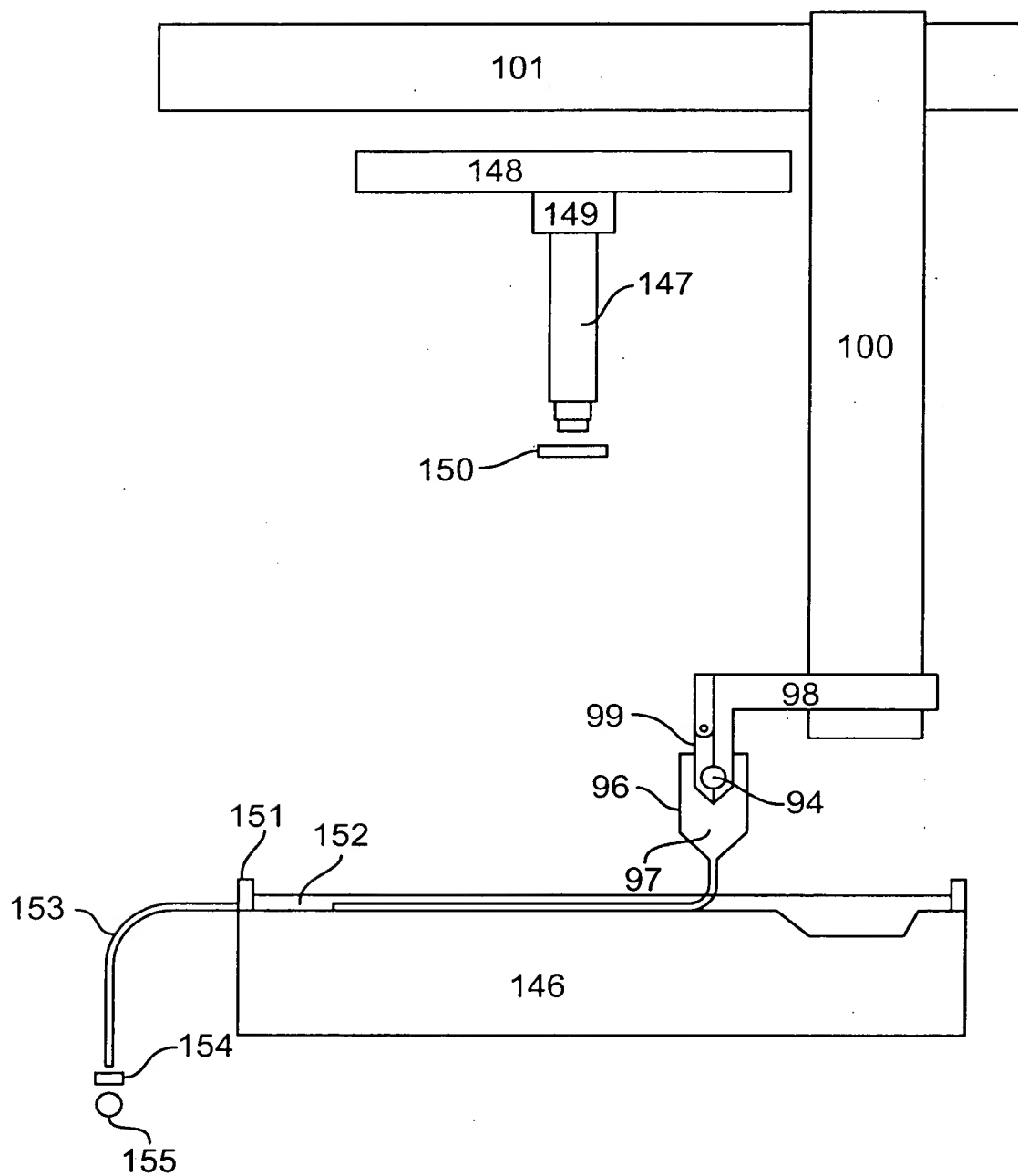


FIG. 12

FIG. 13A

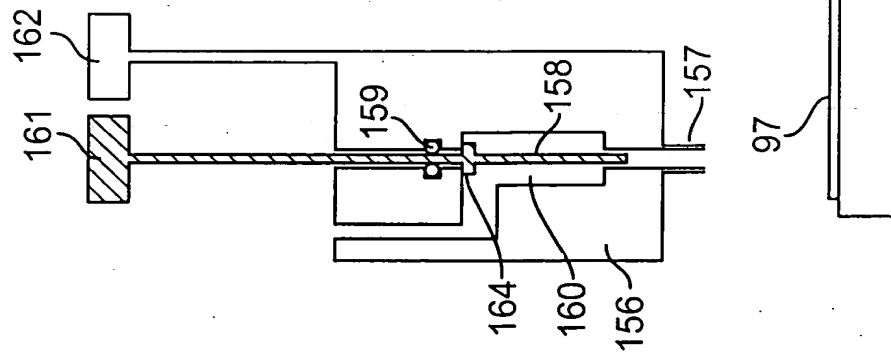


FIG. 13B

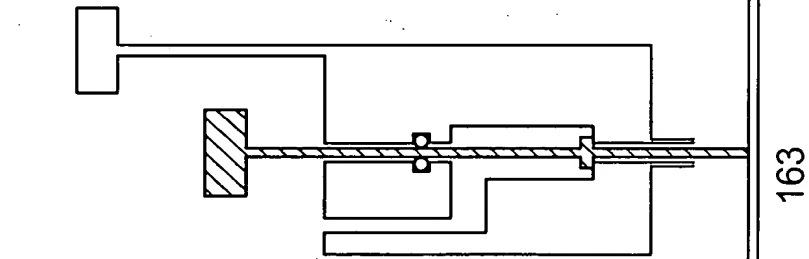


FIG. 13C

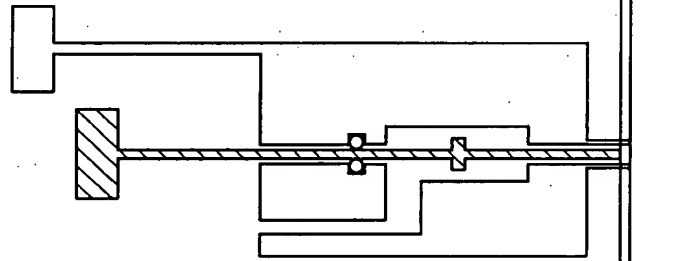


FIG. 13D

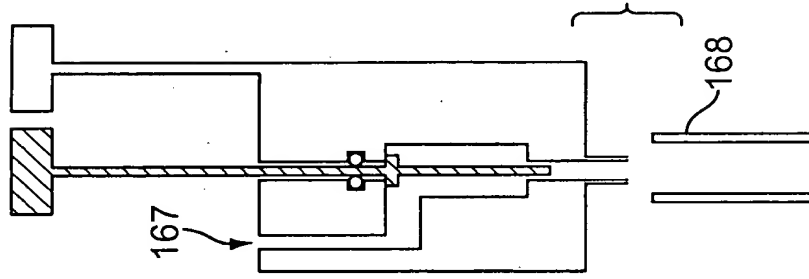
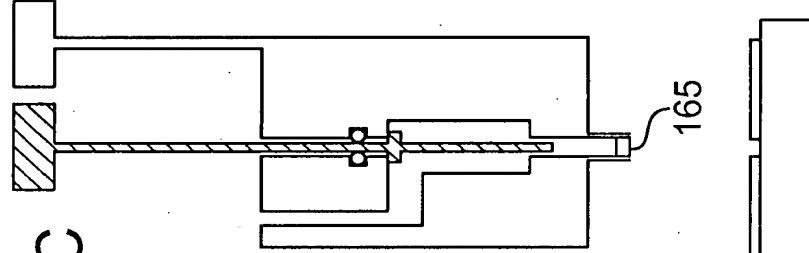


FIG. 13F

FIG. 13E